

# REGULACIJA SINUSNE IZHODNE NAPETOSTI FERORESONANČNEGA TRANSFORMATORJA (II. del)

Andrej Zupanc, Rafael Cajhen, Janko Nastran, Matija Seliger

**KLJUČNE BESEDE:** feroresonančni transformatorji, regulacija napetosti, izhodna napetost, sinusna napetost, regulacijska vezja, matematični model, eksperimentalni rezultati.

**POVZETEK:** V članku je opisana originalna rešitev regulacije sinusne izhodne napetosti feroresonančnega transformatorja, kar je novost na tem področju.

## SINUS OUTPUT VOLTAGE REGULATION OF FERORESONANT TRANSFORMER (part II.)

**KEY WORDS:** feroresonant transformers, voltage control, output voltage, sinusoidal voltage, control circuits, mathematical model, experimental results

**ABSTRACT:** Paper deals with regulation of sinusoidal output voltage of feroresonant transformer. An original solution is given.

### 8. ZAHTEVA ZA AVTOMATSKO KOMPENZACIJO REAKTIVNE MOČI

V prvem delu članka je bil podan osnovni princip regulacije sinusne izhodne napetosti feroresonančnega transformatorja. Navitje na resonančnem stebru je bilo priključeno v seriji za regulacijsko dušilko neposredno na omrežno napetost. Pri tem sta se pojavili dve pomankljivosti. Glavna pomankljivost je uporaba dodatne dušilke za kompenzacijo reaktivne moči. Ta dušilka mora biti relativno velika in njena induktivnost se mora stalno prilagajati krmilnim pogojem. Prav tako je izhodna napetost neposredno povezana z omrežno napetostjo.

Zato je bil nadaljni študij namenjen predvsem vprašanju avtomatske kompenzacije reaktivne moči brez dodatne in spremenljive kompenzacije dušilke. Hkrati pa bo moralna biti dosežena resonanca feroresonančnega

transformatorja z omrežno frekvenco pri vseh delovnih pogojih.

Raziskano je bilo več teoretičnih možnosti. Izdelan je bil matematični model, ki daje zadovoljivo rešitev. Osnova, da bi dosegli zahtevani pogoj, je bila relativno preprosta. Efektivni tok kondenzatorja  $I_C$  v resonančnem krogu mora biti v vseh primerih enak efektivnemu toku regulacijske dušilke  $I_L$  in efektivnemu toku skozi resonančno navitje  $I_2$ . Pri tem velja

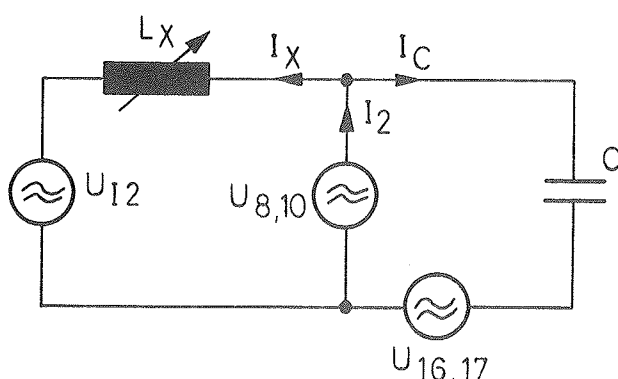
$$I_C = I_L + I_2$$

Na sliki 8 vidimo idejno skico, ki ponazarja postavljene zahteve

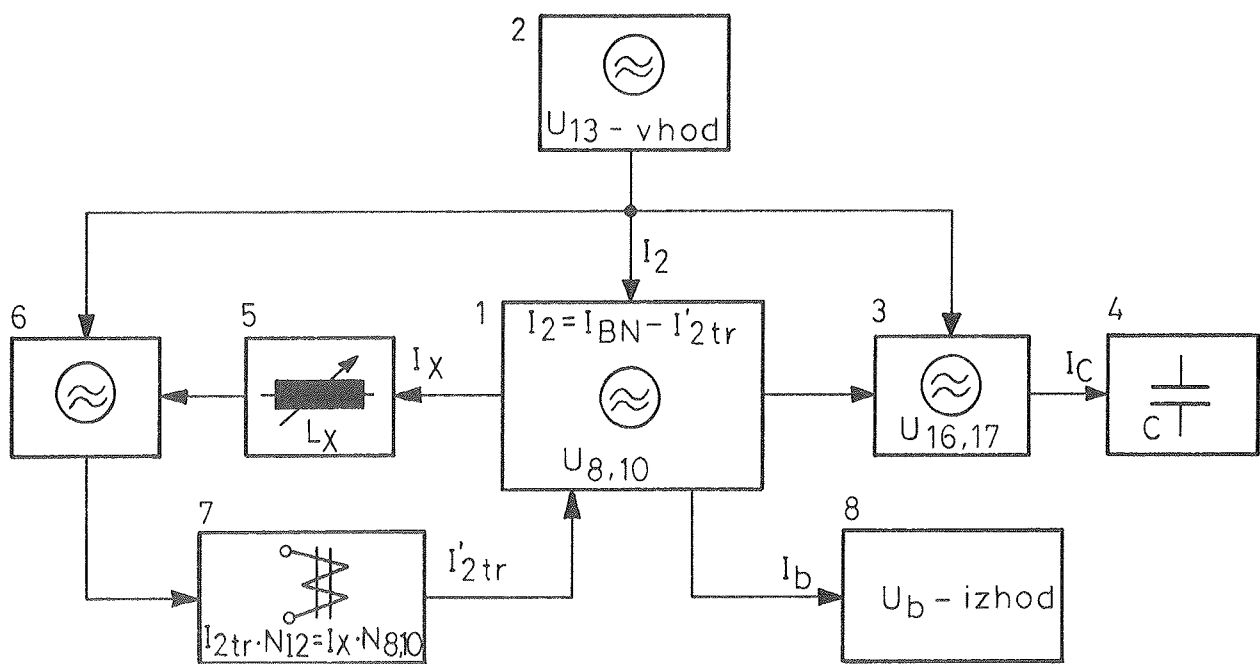
### 9. PRINCIP DELOVANJA

Na sliki 9 vidimo v nekoliko poenostavljeni obliki potek krmiljenja feroresonančnega transformatorja.

Pri regulaciji izhodne sinusne napetosti ima glavno težo enota 1. To je v bistvu generator resonančne napetosti  $U_{8,10}$ , katere velikost se spreminja s krmilnimi pogoji. Ta enota se transformatorsko napaja iz vhodne omrežne napetosti  $U_{13}$  (enota 2). Ta napetost poganja v resonančnem navitju tok  $I_{BH}$ , ki je v skladu z magnetilno BH karakteristiko resonančnega stebra v nasičenju. Generator napetosti  $U_{8,10}$  poganja v seriji z generatorjem  $U_{16,17}$  (enota 3) kapacitivni tok  $I_C$  v enoto 4.



Slika 8. Idejna shema



Slika 9. Blokovna shema krmiljenja FRT

Generator napetosti  $U_{8,10}$  pogarja hkrati tudi krmilni tok  $I_x$  skozi enoto 5 ( $L_x$ ) v enoto 6. Enota 6 je pomožni generator napetosti  $U_{12}$  (pomožno navitje na primarnem stebru). Iz generatorja  $U_{12}$  se generira tok prek enote 7 vsiljeni povratni tok  $I'_{2tr}$  nazaj v enoto 1. Povratni tok  $I'_{2tr}$  ima kapacitivni značaj in vpliva na velikost napetosti  $U_{8,10}$  in na tok resonančnega navitja  $I_2$ . S spremenjanjem velikosti napetosti  $U_{8,10}$  se neposredno spreminja tudi izhodna napetost  $U_b$ . Enota 8 predstavlja krmiljeno sinusno izhodno napetost  $U_b$ , ki je določena z velikostjo krmilnega toka  $I_x$  odnosno induktivne upornosti  $L_x$ .

S tem je dosežen pogoj za krmiljenje feroresonančnega transformatorja, ki obratuje vedno v resonanci in doseže avtomatsko kompenzacijo reaktivne moči.

## 10. OSNOVNE ZAKONITOSTI

V članku niso podane podrobne matematične analize, ki so bile potrebne, da dobimo osnovne matematične zakonitosti. Pri točnih izračunih je potrebno upoštevati tudi določene omejitve in realne oblike tokov napetosti feroresonančnega transformatorja.

Enostavne matematične rešitve modela z naslednjimi enečbami, so podane v tabeli II.

$$I_c = I_x + I_2 = I_x + I_{BH} - I'_{2tr} = I_x + I_{BH} - I_x \cdot \frac{N_{12}}{N_{8,10}}$$

$$I'_{2tr} \cdot N_{8,10} = I_x \cdot N_{12} \text{ iz tega sledi } I'_{2tr} = I_x \cdot \frac{N_{12}}{N_{8,10}}$$

$$I_x = \frac{I_c - I_{BH}}{1 - N_{12}/N_{8,10}}$$

$$\text{tok izrazimo tudi z } I_x = \frac{U_{8,10} - U_{12}}{\omega \cdot L_x}$$

$$\text{Induktivnost } L_x = \frac{U_{8,10} - U_{12}}{\omega \cdot I_x}$$

$$\text{Tok } I_{BH} = f(U_{8,10}) ; \text{kondenzatorski tok } I_c = U_c \cdot \omega \cdot C$$

$k$  ..... napetostni faktor  $U_c/U_{8,10}$

$N_{12}$  ..... pomožno navitje na primarnem stebru I

$N_{8,10}$  ..... resonančno navitje na stebru II

$I'_{2tr}$  ..... transformirani tok pomožnega navitja na primarnem stebru I

$I_{BH}$  ..... tok v resonančnem navitju v skladu z BH karakteristiko

$U_{8,10}$  ..... napetost resonančnega navitja (steber II)

$U_{12}$  ..... napetost pomožnega navitja na primarnem stebru I

V tabeli II. so podane izračunane vrednosti različnih tokov in napetosti krmiljenega feroresonančnega transformatorja moči 3kVA v odvisnosti od velikosti resonančne napetosti  $U_{8,10}$ . Ta pa je v neposredni zvezi z velikostjo izhodne sinusne napetosti  $U_b$ .

Izračunane vrednosti tokov in napetosti v tabeli II se dobro ujemajo z izmerjenimi vrednostmi na modelu 3kVA.

| $U_{8,10}$ | $k$  | $I_{BH}$ | $I_c$ | $I_x$ | $I'_{2tr}$ | $I_2$  | $L_x$ | $U_c$ |
|------------|------|----------|-------|-------|------------|--------|-------|-------|
| V          |      | A        | A     | A     | A          | A      | mH    | V     |
| 100        | 1.02 | 0        | 3.20  | 7.32  | 4.13       | -4.13  | -65.2 | 102.0 |
| 120        | 1.02 | 0.05     | 3.84  | 8.68  | 4.88       | -4.83  | -47.6 | 122.4 |
| 140        | 1.02 | 0.07     | 4.48  | 10.10 | 5.68       | -5.61  | -34.7 | 142.8 |
| 160        | 1.02 | 0.09     | 5.12  | 11.52 | 6.48       | -6.39  | -24.8 | 163.2 |
| 180        | 1.02 | 0.10     | 5.76  | 12.70 | 7.15       | -7.05  | -17.5 | 183.6 |
| 200        | 1.02 | 0.14     | 6.40  | 14.33 | 8.07       | -7.93  | -11.1 | 204.0 |
| 300        | 1.05 | 0.70     | 9.89  | 21.03 | 11.84      | -11.14 | 9.8   | 315.0 |
| 325        | 1.05 | 1.00     | 10.71 | 22.23 | 12.52      | -11.52 | 10.7  | 341.2 |
| 350        | 1.10 | 2.00     | 12.09 | 23.10 | 13.00      | -11.00 | 13.8  | 385.0 |
| 375        | 1.13 | 4.00     | 13.30 | 21.29 | 11.99      | -7.99  | 18.7  | 423.7 |
| 400        | 1.15 | 6.50     | 14.44 | 18.18 | 10.23      | -3.73  | 26.3  | 460.0 |
| 425        | 1.16 | 9.50     | 15.48 | 13.68 | 7.70       | 1.80   | 40.7  | 493.0 |
| 450        | 1.22 | 12.80    | 17.24 | 10.16 | 5.72       | 7.08   | 62.7  | 549.0 |
| 480        | 1.25 | 18.00    | 18.84 | 1.92  | 1.08       | 16.92  | 381.0 | 600.0 |

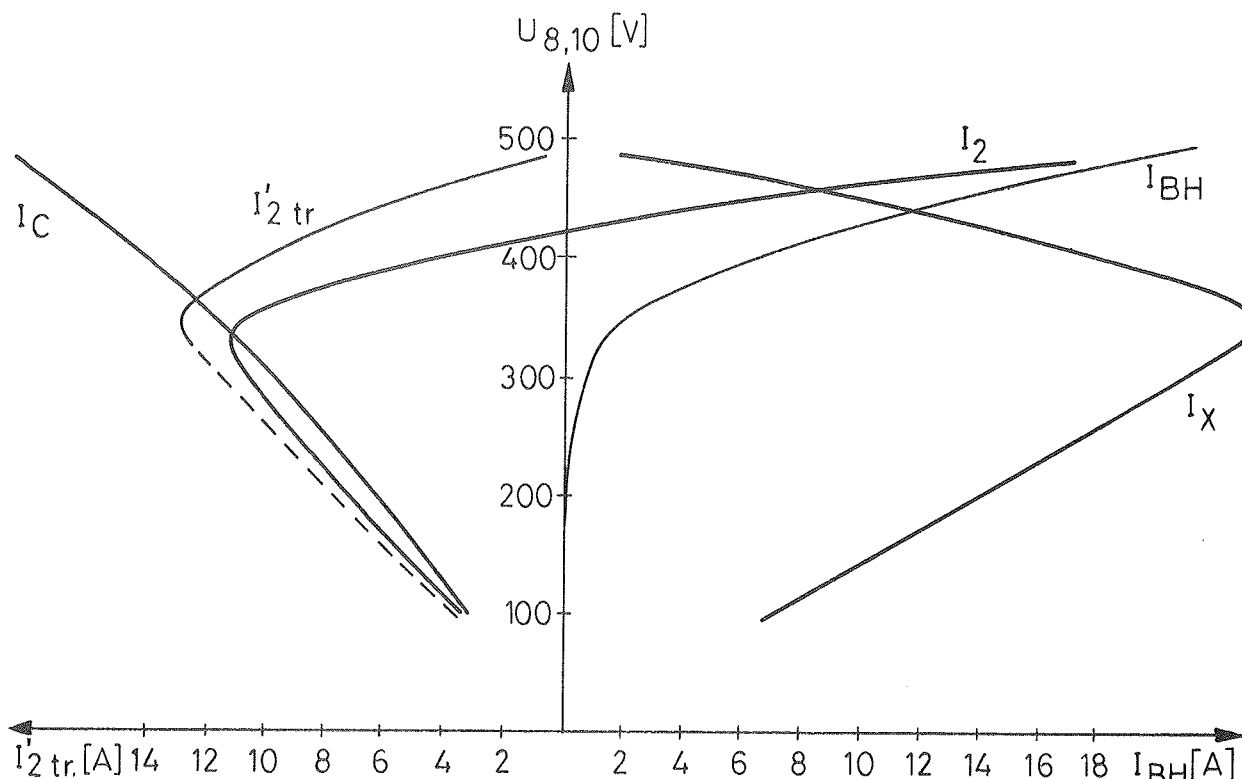
Tabela II

## 11. GRAFIČNI PRIKAZ TOKOV

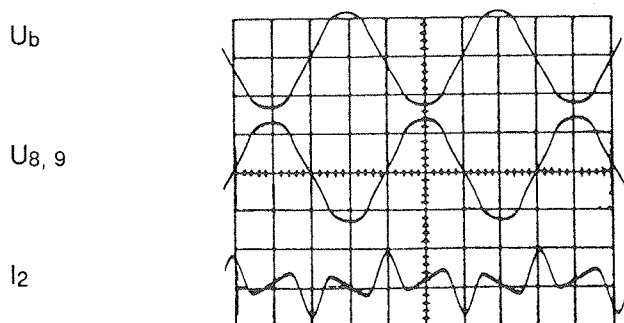
S slike 10 lahko vidimo, da se določeni tokovi nahajajo v prvem kvadrantu ( $I_x$ ,  $I_{BH}$ ) in v četrtem kvadrantu ( $I_c$ ,  $I'_{2tr}$ ).

Tok  $I_2$  pa se nahaja najprej v četrtem in nato v prvem kvadrantu. Pri določeni napetosti resonančnega kroga  $U_{8,10}$  pa je tok resonančnega navitja praktično nič.

Tok  $I_{BH}$  je magnetilni tok resonančnega stebra, ki bi tekel v primeru nekrmiljenega feroresonančnega transformatorja. V kvadrantu IV. vidimo potek kondenzatorskega toka  $I_c$  kot funkcijo generatorjev napetosti  $U_{8,10}$  in  $U_{16,17}$ . Prikaz krmilnega toka  $I_x$  kot funkcije generatorske napetosti  $U_{8,10}$ , oz. velikosti krmilne induktivnosti  $L_x$  pa vidimo v kvadrantu I. Potek toka  $I_2$  je pogojen tudi z izbrano pomožno generatorsko napetostjo  $U_{12}$  na primarnem



Slika 10. Potek tokov v odvisnosti od napetosti  $U_{8,10}$



sl. 11a

Merilo:

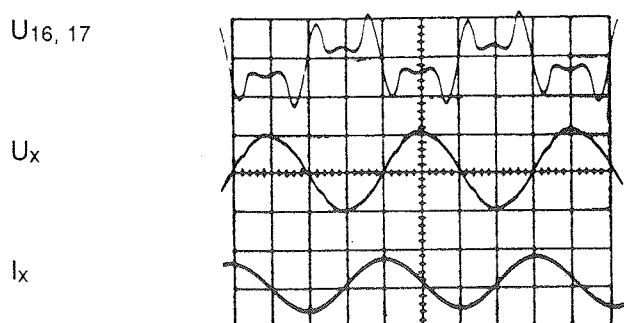
$$L_x = 45\text{mH}$$

$$U_b = 200\text{V/d}$$

$$U_{8,9} = 200\text{V/d}$$

$$I_2 = 10\text{A/d}$$

$$t = 5\text{ms/d}$$



sl. 11b

Merilo:

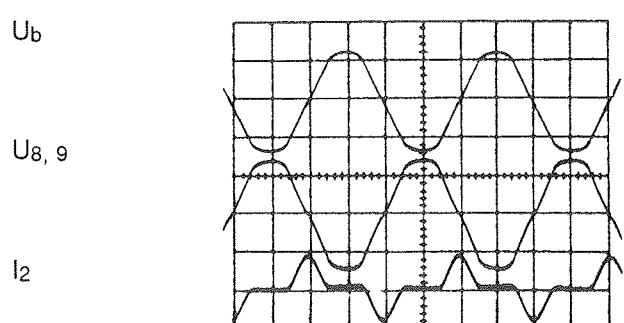
$$L_x = 45\text{mH}$$

$$U_{16,17} = 100\text{V/d}$$

$$U_x = 200\text{V/d}$$

$$I_x = 20\text{A/d}$$

$$t = 5\text{ms/d}$$



sl. 11c

Merilo:

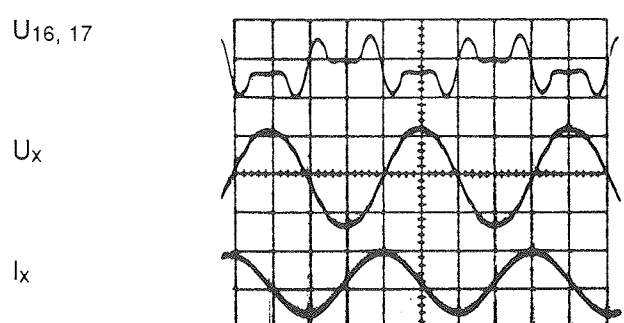
$$L_x = 84,5\text{mH}$$

$$U_b = 200\text{V/d}$$

$$U_{8,9} = 200\text{V/d}$$

$$I_2 = 20\text{A/d}$$

$$t = 5\text{ms/d}$$



sl. 11d

Merilo:

$$L_x = 84,5\text{mH}$$

$$U_{16,17} = 200\text{V/d}$$

$$U_x = 200\text{V/d}$$

$$I_x = 10\text{A/d}$$

$$t = 5\text{ms/d}$$

Slika 11. Osciloskopski posnetki tokov in napetosti FRT (sliki a in b za  $L_x = 45\text{mH}$ , sliki c in d za  $L_x = 84,5\text{mH}$ )

stebru feroresonančnega transformatorja. Napetosti  $U_{8,10}$  in  $U_{12}$  sta fazno premaknjeni za  $180^\circ$ . Ta induktivni tok  $I_x$  vsiljuje v pomožni generator  $U_{12}$  tok, ki pa je zanj kapacitivnega značaja. Magnetna napetost, ki je podana z produktom  $I_x \cdot N_{12}$  ( $N_{12}$  je število pomožnih ovojev na primerenem stebru), transformira na resonančni steber magnetno napetost, ki je podana s tokom  $I'_{2tr}$  in število ovojev  $N_{8,10}$ .

$$I_x \cdot N_{12} = I'_{2tr} \cdot N_{8,10}$$

Tok  $I'_{2tr}$  ima kapacitivni značaj, zato se nahaja v IV. kvadrantu. Tok resonančnega navitja  $I_2$  pa je določen z razliko tokov

$$I_2 = I_{BH} - I'_{2tr}$$

Kot vidimo iz diagrama ima tok  $I_2$  pri majhni induktivnosti krmilne dušilke  $L_x$  kapacitivni značaj (negativno vrednost nasproti magnetilnemu toku  $I_{BH}$ ), pri večjih vrednostih  $L_x$  pa ima induktivni.

## 12. OSCILOSKOPSKI POSNETKI

Opisani potek tokov in napetosti potrjujejo tudi naslednji osciloskopski posnetki.

Na sliki 11 je podano le nekaj značilnih osciloskopskih posnetkov različnih tokov in napetosti na feroresonančnem transformatorju. Tu vidimo časovni potek tokov resonančnega navitja  $I_2$  v primerjavi s krmilnim tokom  $I_x$  za krmilni induktivnosti  $L_x = 45 \text{ mH}$  in  $84.5 \text{ mH}$ .

Tokova  $I_2$  sta v obeh primerih popačena, vendar premaknjena med seboj za približno  $180^\circ$ el. To pomeni, da ima tok  $I_2$  v prvem primeru kapacitivni in v drugem induktivni značaj. Velikosti tokov so v obeh primerih različne, kot se to ujema z izračunanimi vrednostmi.

Na slikah tudi vidimo obliko izhodne napetosti  $U_b$ , resonančne napetosti  $U_{8,10}$  napetosti na filterskem navitju  $U_{16,17}$  in napetost na krmilni dušilki  $U_x$ .

## 13. REALNI MODEL

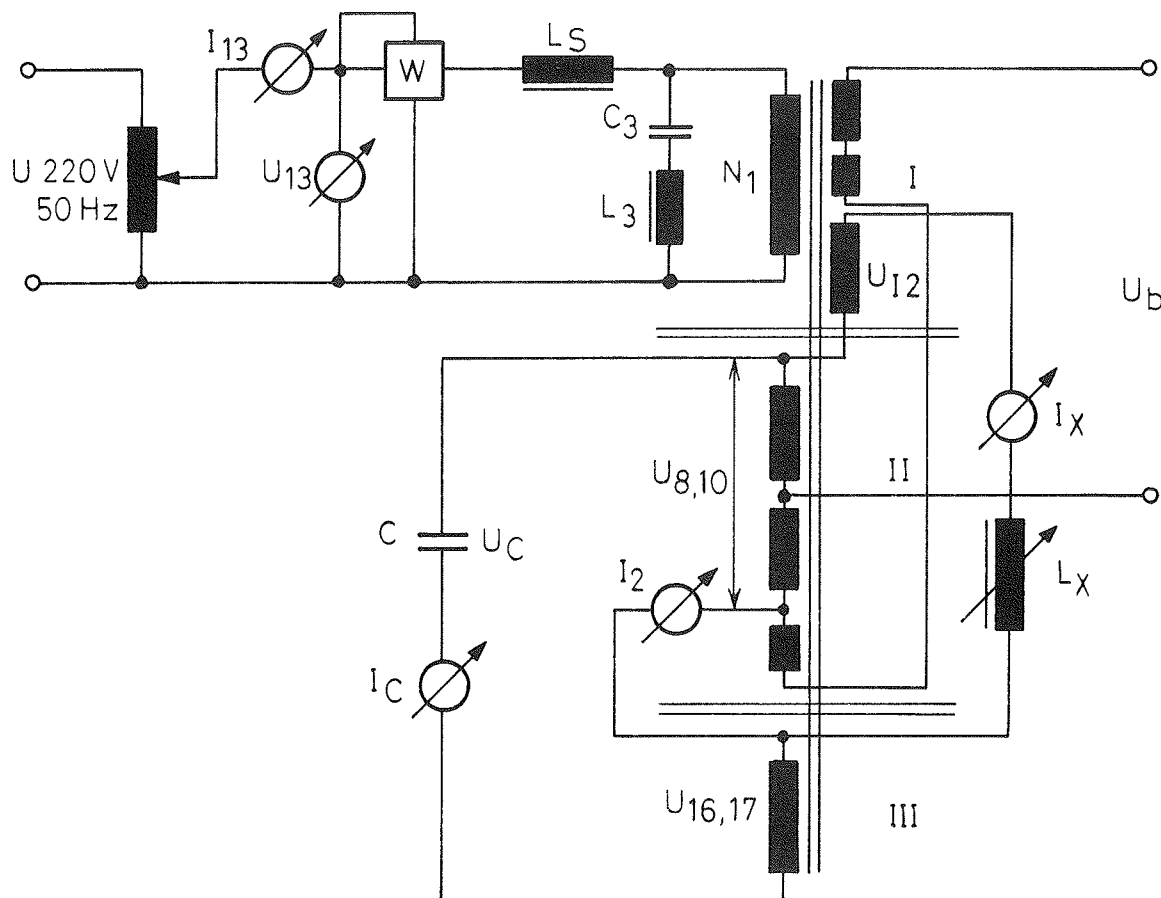
Na sliki 12 vidimo principalno shemo realnega modela krmiljenega feroresonančnega transformatorja. V bistvu se to vezje razlikuje od vezja podanega na sliki 2 v tem, da ima primarni steber dodano pomožno navitje z nape-

tostjo  $U_{12}$ , ki je priključeno prek krmilne dušilke  $L_x$  neposredno na resonančno navitje z napetostjo  $U_{8,10}$ . Napetosti  $U_{12}$  in  $U_{8,10}$  sta vezani v protifazi. Induktivni krmilni tok  $I_x$  je za pomožno napetost  $U_{12}$  kapacitivnega, značaja, ki se transformatorsko prenaša nazaj na resonančno navitje. V odvisnosti od velikosti toka  $I_x$  se spreminja izhodna sinusna napetost  $U_b$ , ki je priključena neposredno na resonančno navitje.

Ker ima enofazni feroresonančni transformator relativno veliko nelinearno popačenje vhodnega omrežnega toka, je predviden tudi sesalni filter na primarni strani transformatorja.

## 14. ZAKLJUČEK

Kot je iz članka razvidno je bila dosežena regulacija izhodne sinusne napetosti v širokih mejah, pri čemer je bila dosežena avtomatska kompenzacija reaktivne moči brez dodatne dušilke. Prav tako je bila dosežena resonanca feroresonančnega transformatorja z omrežno frekvenco pri vseh delovnih pogojih. Ta dognanja je mogoče uporabiti skoraj pri vseh obstoječih feroresonančnih transformatorjih z dodatnim pomožnim navitjem na primarnem stebru transformatorja. Pri novo konstruiranih feroresonančnih transformatorjih pa so mogoče še druge ustrezne rešitve za grobo in fino regulacijo



Slika 12. Vezalna shema krmiljenja izhodne napetosti

izhodne sinusne napetosti z minimalnim nelinearnim popačenjem.

Regulacija izgodne napetosti se lahko doseže s spremenjanjem induktivnosti krmilne dušilke  $L_x$  ali pa s kombinacijo dušilke in polprevodniških elementov.

Te sisteme lahko uporabimo, kjer se zahteva široka regulacija izhodne sinusne napetosti ali pa se zahteva zelo veliko stabilnost izhodne napetosti pri reaktivnih obremenitvah. To velja tudi v primeru ko je feroresonančni transformator priključen na generatorje, ki obraťujejo z relativno veliko spremembo frekvence in napetosti. Prav tako je mogoče te sisteme prilagoditi tudi v primeru, kjer se zahteva bistveno zmanjšanje stresanja magnetnega polja.

Opisane sisteme enofaznih feroresonančnih transformatorjev je priporočljivo graditi do moči 10 kVA. Za velike moči je opisani princip regulacije uporaben tudi za trifazne feroresonančne transformatorje. Prav tako imajo trifazni sistemi nekatere prednosti pred enofazni-

mi, ker imajo bistveno manjše nelinearno popačenje omrežnih tokov in tudi njihova velikost in masa se bistveno ne razlikujeta od klasičnih energetskih trifaznih transformatorjev za enako moč.

*dr. Andrej Zupanc, dipl.ing.  
IMP*

*Titova 37, Ljubljana*

*prof.dr. Rafael Cajhen, dipl.ing.  
Fakulteta za elektrotehniko in računalništvo  
Tržaška 25, LJUBLJANA*

*doc.dr. Janko Nastran, dipl.ing.  
Fakulteta za elektrotehniko in računalništvo  
Tržaška 25, LJUBLJANA*

*prof.dr. Matija Seliner, dipl.ing.  
Fakulteta za elektrotehniko in računalništvo  
Tržaška 25 Ljubljana*

*Prispelo: 04. 06. 91      Sprejeto: 25. 06. 91*